

알미늄 船樓船의 热應力分析

朴 先 英*

Notes on the Thermal Stresses for Aluminum Superstructures

Sun Young Pak

Abstract

The effect of thermal stress on a ship's hull is not considered to be serious by most naval architects. Frequently, however, cracking of hulls has been reported which occurred at sea while there were no external forces except the heat from the sun. Detailed investigations have been made of these reports and it has been reliably determined that the damage was initiated by solar heating.

The author is not interested in all steel ship or in the applicability and validity of the formula itself, as it has already been proven by the experiments such as S.S. Boulder Victory. [2], [3]

The author therefore proceeds directly to calculate the stress distribution on the hull and superstructure of the prototype model ship. [5]

These calculations are based on the experimental nonsymmetrical temperature gradient data taken earlier on the Boulder Victory. The calculations were made principally to determine the extent of stresses which occurred on an all-steel ship in one case and secondly, those that occurred on a ship with a steel hull and an aluminum superstructure.

From the calculations, the author expected the stress distribution of the two cases would show distinctly different aspects, but the acquired results were very similar. Generally, at the point of junction of the steel hull and aluminum superstructure sharp peak stresses appeared.

At the juncture of the superstructure and the main deck the ship with the aluminum superstructure registered almost 1000 psi more stress than did the ship with the all-steel construction.

In view of these findings, the author recommends to ship designers that they pay particular attention to the point of junction of steel and aluminum plate.

The author has proven that it is extremely important that a greater safety factor be used at the aluminum-steel junction point than at any other point. Although thermal effects cause high juncture-point stresses in all-steel ships, they are not nearly as critical as in a ship constructed of two or more metals.

原稿受理日字 1966年 2月 3日

* 正會員 鎮海 海軍工廠

** [] 안의 數字는 本論文末尾에 紹介한 引用文獻의 番號입니다.

1. 概論

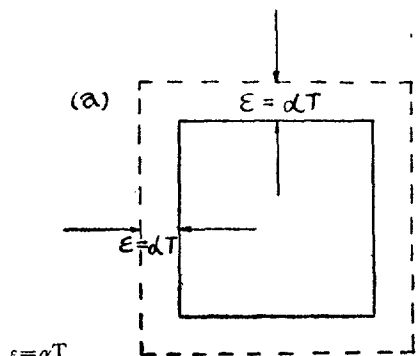
熱應力이 船體에 미치는 影響에 對하여서는 大部分의 造船學者가 等閒히 하고 있는 實情이다. 然이나 往往히 일어나는 船體龜裂中 太陽熱以外에는 何等의 外部力이 없었는데도 龜裂이 일어났다는 報告에 接하여 原因을 分析한 結果 太陽熱에 依한 損傷일 것이라는 信憑性이 積어지고 있다. 이와 같은 根據를 執바침하기 爲하여 여러곳에서 理論的인 開發과 併行하여 實驗을 하여 發表된 바 있다. 그 代表的인 例가 Jasper N.H[1]의 理論的인 執 바침이며 Meriam J.L 및 Corlett, E.C.B 諸氏[2], [3]의 實驗結果에서 立證되고 있다.

Jasper, N.H 氏의 論文[4]과 Meriam, J. L 氏의 S.S. Boulder Victory 의 热應力 實驗에 對한 報告에 依據하면 Jasper 氏自身의 導出한 热應力이 理論的인 計算方法에 큰 過誤가 無음을 明白히 해 준다.

그리므로 本稿에서는 Jasper 氏의 理論에 根據를 두어 Meriam 氏의 "S.S. Boulder Victory"에서 實測한 太陽熱 計測值을 引用하여 Twin aluminum deck house 와 Twin steel deck house 를 가진 同型船型에 適用하여 計算值을 얻어서 그 應力分布를 比較 檢討하려는 것이다.

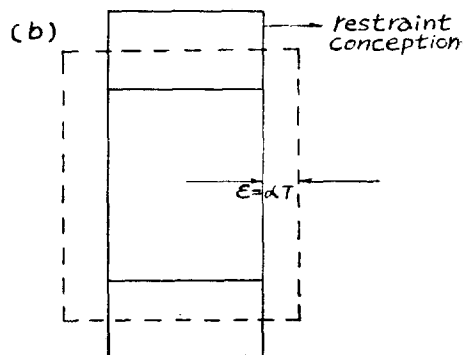
2. 基礎理論

(1) 物理的 現象



$$\varepsilon = \alpha T$$

여기에서
 ε : Strain
 α : Coefficient of thermal expansion
 T : Temperature



$$\sigma = E\varepsilon = E\alpha T$$

σ : Stress
 E : Young's modulus

Mechanical strain 을 ε^* 라 하면

$$\varepsilon = \varepsilon^* + \alpha T$$

$$\varepsilon_x = 1/E(\sigma_x - \mu\sigma_s) + \alpha T$$

ε_x : x 方向의 strain, σ_x : stress in longitudinal direction

σ_s : stress in girth direction, μ : poisson's ratio

整理하면

$$\sigma_x = -\frac{E}{1-\mu^2}(\epsilon_x + \mu\epsilon_s) - \frac{E\alpha T}{1-\mu}$$

$$\sigma_s = -\frac{E}{1-\mu^2}(\epsilon_s + \mu\epsilon_x) - \frac{E\alpha T}{1-\mu}$$

(2) 理論의 適用

(a) 第一束縛條件

縱方向의 伸長을 防止하기 위하여 힘 $F(x)$ 을 前後 方向으로 加하고 깊이 方向의 應力を 除去시키기 위하여 moment M_s 를 加한다. 即 $\epsilon_x=0$, $\sigma_s=0$ 로 假定하면

$$\sigma_{x1} = E\alpha T$$

(b) 第二束縛條件

$F(x)$ 束縛力を 除去한다. 다시 말해서 bending 만을 못한다. 그러면 $\frac{\partial \epsilon_x^2}{\partial s} = 0$ 이 成立해야 하며 平衡條件를 이르기 為하여 다음 條件을 滿足시켜야 한다.

即 $\oint (\sigma_{x1} + \sigma_{x2}) dA = 0$

그러나 σ_{x2} 는 깊이 方向의 函數가 아닌고로

$$\sigma_{x2} = -\frac{1}{A} \oint \sigma_{x1} dA = -\frac{E\alpha}{A} \oint T dA$$

(c) 第三束縛條件

第一, 二束縛條件를 모두 除去함으로서 自由로운 變型條件를 이룬다. 그러면 다시 moment의 平衡條件이 成立해야 한다.

한 平面 ($x-z$ plane) 上에서

$$M_3 + \oint z(\sigma_{x1} + \sigma_{x2}) dA = 0$$

여기서 σ_{x2} 는 常數인고로

$$M_3 + \oint z\sigma_{x1} dA + \sigma_{x2} \oint zdA = 0$$

여기서 軸을 中心軸에 擇하면

$$\oint zdA = 0$$

$$\therefore M_3 = -\oint z\sigma_{x1} dA$$

$$M_3 = -\frac{1}{z} \sigma_{x3} \text{ 라 보면}$$

$$\sigma_{x3} = -\frac{z}{I} \oint z\sigma_{x1} dA$$

$$= -\frac{zE\alpha}{I} \oint zT dA$$

그러므로 $\frac{d^2w}{dx^2} = -\frac{\sigma_{x3}}{Ez} = \frac{\alpha}{I} \oint zT dA$

같은 方法으로 橫方向을 生覺하면

$$\sigma_{x4} = -\frac{yE\alpha}{I_{oy}} \oint yT dA$$

여기에서 I_{oy} 는 橫方向 moment of inertia

(d) 綜合應力

$$\sigma_x = E\alpha \left[-T + \frac{1}{A} \oint T dA + \frac{z}{I_{oy}} \oint zT dA + \frac{y}{I_{ox}} \oint yT dA \right]$$

(3) 異物質로 된 船體斷面의 境遇

$$\sigma_x = E \left[-\alpha T + \frac{\oint E \alpha T dA}{\oint E dA} + Z \frac{\oint z E \alpha T dA}{\oint z^2 E dA} + y \frac{\oint y E \alpha T dA}{\oint y^2 E dA} \right]$$

計算目的을 為하여 簡略化하면

$$\sigma_{ax} = -\alpha ET + \frac{K}{A\varepsilon} \int \alpha ET dA + \frac{Kz}{(I_{oy})\varepsilon} \int \alpha ET Z dA + \frac{Ky}{(I_{os})\varepsilon} \int \alpha ET y dA$$

여기서

$$K = \frac{E}{E_s}, \quad A\varepsilon = \int \frac{E}{E_s} dA, \quad (I_{oy})\varepsilon = \int \frac{E}{E_s} z^2 dA, \quad (I_{os})\varepsilon = \int \frac{E}{E_s} y^2 dA$$

그리고 알미늄과 鋼의 E 와 α 及 μ 를 각기 다음과 같이 擇한다.

$$E_s = 29.5 \times 10^6 \text{ lb/in}^2$$

$$E_a = 10.3 \times 10^6 \text{ lb/in}^2$$

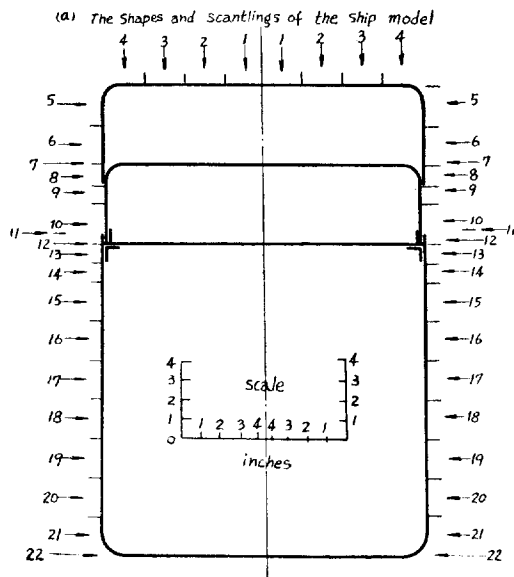
$$\alpha_s = 6.5 \times 10^{-6} (\text{Fahrenheit})$$

$$\alpha_a = 13.0 \times 10^{-6} (\text{Fahrenheit})$$

$$\mu_s = \mu_a = 0.33$$

3. 模型과 그 温度分布

(1) Corlett. E.C.B 氏의 試船模型 [5]를 本稿의 計算目的에 使用하였으며 그 重要計算值와 scantling 은 다음과 같다.



(b) Neutral axis for all steel deck 13.86 inch above base line

(c) Neutral axis for aluminum deck 10.99 inch above base line

$$(d) I_{oy} = 866.7 \text{ in}^4$$

$$(I_{oy})\varepsilon = 654.4 \text{ in}^4$$

$$I_{os} = 148.8 \text{ in}^4$$

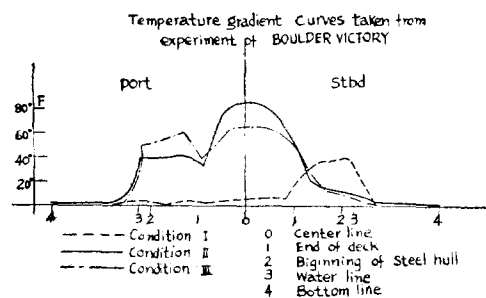
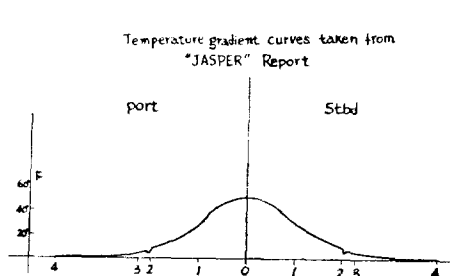
$$(I_{os})\varepsilon = 969.3 \text{ in}^4$$

(e) 各 Element 의 關聯 치수

1 Item No	2 Area actual	3 \bar{y} of composite deck	4 \bar{y} of all steel ship	5 \bar{z} of area (stbd)	6 \bar{z} of area (port)
1	0.375	13.08	10.21	1.00	-1.00
2	0.375	13.08	10.21	3.00	-3.00
3	0.375	13.08	10.21	5.00	-5.00
4	0.375	13.08	10.21	7.00	-7.00
5	0.375	12.08	9.31	7.71	-7.71
6	0.375	10.18	7.31	7.31	-7.91
7	1.475	9.08	6.21	4.62	-4.62
8	0.305	8.68	5.81	7.81	-7.81
9	0.190	7.68	4.81	7.72	-7.72
10	0.345	6.18	3.31	7.72	-7.72
11	0.180	5.18	2.94	7.72	-7.72
12	1.460	4.86	1.77	4.62	-4.62
13	0.425	4.41	1.54	7.71	-7.71
14	0.190	3.41	0.54	7.91	-7.91
15	0.375	2.01	0.86	7.91	-7.91
16	0.375	-0.01	-2.86	7.91	-7.91
17	0.375	-1.99	-4.86	7.91	-7.91
18	0.375	-3.99	-6.86	7.91	-7.91
19	0.375	-5.99	-8.86	7.91	-7.91
20	0.375	-7.99	-10.86	7.91	-7.91
21	0.375	-9.99	-12.86	7.91	-7.91
22	1.500	-10.89	-13.76	4.62	-4.62

(2) 温度分布는 4 개 조건으로 구분 계산目的에 利用하였으며 左右舷 對稱 温度 分布 조건과 I, II, III 温度 分布 조건으로 구분하였다. 다음 図表가 이를 나타내고 있다.

(a) Temperature gradient curves



(b) Temperature gradient table.

Item and Cond. T	Symetric	Condition I		Condition II		Condition III	
	port and stbd	stbd	port	stbd	port	stbd	port
1	51.5	9.1	8.6	85.2	84.7	66.8	65.8
2	48.2	8.6	7.6	82.9	82.2	66.7	62.3
3	42.0	6.5	4.5	76.5	63.2	64.4	48.0
4	38.0	4.8	3.3	60.5	36.5	57.5	39.5
5	24.0	31.5	4.8	37.0	40.0	41.5	55.6
6	20.0	37.3	5.2	19.5	43.7	23.8	59.7
7	17.6	38.1	3.8	14.5	43.8	18.4	59.6
8	16.8	38.3	3.5	14.0	43.3	17.2	58.4
9	14.7	38.5	3.0	13.8	41.8	15.3	56.2
10	12.0	40.0	1.8	12.6	39.8	11.7	53.9
11	10.3	41.3	1.1	11.9	39.4	10.2	53.8
12	4.8	42.2	2.0	11.7	39.1	9.0	53.5
13	7.5	42.5	2.5	11.0	39.0	8.4	52.0
14	5.5	42.0	3.0	10.4	38.5	7.1	50.5
15	3.5	22.0	2.5	8.3	8.2	4.0	6.2
16	2.0	2.1	1.2	4.5	3.1	1.6	1.5
17	1.2	1.2	0.5	1.8	2.0	1.2	0.5
18	0.8	0	0	1.2	1.2	0	0
19	0.3	0	0	1.2	1.2	0	0
20	0.3	0	0	1.2	1.2	0	0
21	0.3	0	0	1.2	1.2	0	0
22	0.3	0	0	1.2	1.2	0	0

Note	Condition I (845 Sun's altitude 29 degree.)
	condition II (1555 Sun's altitude 50 degree)
	condition III (1810 Sun's altitude 20 degree.)

4. 計 算 結 果

表1에서 보는 바와 같은 sheet를 가지고 計算을 한다면 매우 계산은 機械的으로 진척되며 容易하다.
 本稿에서는 參考삼아 温度條件(1) 떠만 Tabulation 해 둔다.

TABLE I

Computation of stress distribution in composite deck (condition I)

1	2	3	4	5	6	7	8	9	10	11	12	13
Stbd Item	Area ΔA (in 2)	\bar{y} (in)	\bar{z} (in)	T (deg F)	aET $\times \Delta A$	aET $\times \Delta A$	aET(ΔA) $\times \bar{y}$	aET(ΔA) $\times \bar{z}$	$\sigma_1 + \sigma_2$ (psi)	σ_3	σ_4	$\sigma = \sigma_1 + \sigma_2$ $+\sigma_3 + \sigma_4$
1	0.375	13.08	1.00	9.1	1166	416	5441	416	-297	+1250	+102	+1055
2	0.375	13.08	3.00	8.6	1102	413	5402	1239	-233	+1250	+306	+1323
3	0.375	13.08	5.00	6.5	833	312	4081	1560	+36	+1250	+511	+1797
4	0.375	13.08	7.00	4.8	615	231	3021	1617	+254	+1250	+715	+2219
5	0.375	12.18	7.71	31.5	4035	1513	18428	11665	-3166	+1164	+788	-1214
6	0.375	10.18	7.91	37.3	4778	1791	18232	14167	-3909	+973	+808	-2118
7	1.475	9.08	4.62	38.1	4881	7199	65367	33259	-4012	+868	+472	-2872
8	0.305	8.68	7.81	38.3	4906	1496	12985	11689	-4037	+830	+798	-2409
9	0.190	7.68	7.42	38.5	4932	937	7196	7233	-4067	+734	+798	-2540
10	0.345	6.18	7.72	40.0	5124	1767	10920	13641	-4255	+591	+798	-2875
11	0.180	5.18	7.72	41.3	8363	1505	7796	11619	-5755	+1486	+2367	-1902
12	1.460	4.86	4.62	42.2	8546	12477	60638	57644	-5958	+1394	+1416	-3128
13	0.425	4.41	7.71	42.5	8606	3658	16132	28203	-5998	+1265	+2364	-2369
14	0.190	3.41	7.91	42.0	8505	1616	5511	12783	-5897	+978	+2425	-2494
15	0.375	2.01	7.91	22.0	4455	1671	3359	12218	-1847	+5777	+2245	+1155
16	0.375	0.01	7.91	2.1	425	159	2	1258	+2183	+3	+2425	+4611
17	0.375	-1.99	7.91	1.2	243	91	-181	720	+2365	-571	+2425	+4219
18	0.375	-3.99	7.91	0	0	0	0	0	+2608	-1145	+2425	+3888
19	0.375	-5.99	7.91	0	0	0	0	0	+2608	-1719	+2425	+3314
20	0.375	-7.79	7.91	0	0	0	0	0	+2608	-2292	+2425	+2741
21	0.375	-9.99	7.91	0	0	0	0	0	+2608	-2866	+2364	+2106
22	1.500	-10.9	4.62	0	0	0	0	0	+2608	-3124	+1416	+900

1	2	3	4	5	6	7	8	9	10	11	12	13
Port	Area ΔA (in 2)	y (in)	z (in)	T (deg F)	aET x ΔA	aET x ΔA	aET x ΔA	aET(ΔA) x z	aET(ΔA)	$\sigma_1 + \sigma_2$ (psi)	σ_3	σ_4
Item												
1	0.375	13.08	-1.00	8.6	1102	413	5402	-413	-233	+1250	-102	+915
2	0.375	13.08	-3.00	7.1	910	341	4460	-1023	-41	+1250	-306	+903
3	0.375	13.08	-5.00	4.5	576	216	2825	-1080	+293	+1250	-511	+1032
4	0.375	13.08	-7.00	3.3	423	159	2080	-1113	+446	+1250	-715	+981
5	0.375	12.18	-7.17	4.8	615	231	2814	-1'81	+254	+1164	-788	+630
6	0.375	10.18	-7.91	5.2	666	250	2545	-1978	+203	+973	-808	+368
7	1.475	9.08	-4.62	3.8	487	718	6519	-3317	+332	+868	-472	+778
8	0.305	8.68	-7.81	3.5	448	137	1189	-1090	+421	+830	-798	+452
9	0.190	7.68	-7.72	3.0	384	73	561	-564	+485	+934	-789	+430
10	0.345	6.18	-7.72	1.8	231	80	494	-518	+638	+571	-789	+440
11	0.180	5.18	-7.72	1.7	344	62	321	-479	+2264	+1486	-2367	+1383
12	1.460	4.86	-4.62	2.0	405	591	-872	-2'30	+2203	+1394	-1416	+2081
13	0.425	4.41	-7.71	2.5	506	215	948	-1658	+2102	+1265	-2364	+1003
14	0.190	3.41	-7.91	3.0	608	116	356	-918	+2060	+978	-2425	+553
15	0.375	2.01	-7.91	2.5	506	190	382	-1503	+2102	+577	-2425	+254
16	0.375	0.01	-7.91	1.2	243	91	1	-720	+2365	+3	-2425	-57
17	0.375	-1.99	-7.91	0.5	101	38	-16	-301	+2587	-571	-2425	-489
18	0.375	-3.99	-7.91	0	0	0	0	0	+2608	-1145	-2425	-962
19	0.375	-5.99	-7.91	0	0	0	0	0	+2608	-1719	-2425	-1536
20	0.375	-7.99	-7.91	0	0	0	0	0	+2608	-2292	-2425	-2109
21	0.375	-9.99	-7.71	0	0	0	0	0	+2608	-2866	-2425	-2622
22	1.500	-10.8	-4.62	0	0	0	0	0	+2608	-3124	-1416	-1932
									$\Sigma_9 200660$			
									$\Sigma_8 278013$			
									$\Sigma_7 41173$			
									$\Sigma_6 128.1$			
									$\Sigma_5 (\text{I}_{9z})\epsilon = 969.3$			
									$\Sigma_4 (\text{E}\alpha)_{\text{AL}} = 128.1$			
									$\Sigma_3 \text{E} = 3$			
									$\Sigma_2 \text{K} = 2608 \text{K}$			
									$\Sigma_1 \text{I}_{9z} = 654.4$			
AE=15.79									$\sigma_2 = \frac{\Sigma_1 \text{K}}{\text{A}_e} = 286.7 \text{K}$			
									$\sigma_3 = \frac{\Sigma_2 \text{K}_{9y}}{(\text{I}_{9y})\epsilon} = 306.6 \text{K}$			
									$\sigma_4 = \frac{\Sigma_3 \text{K}_{9x}}{(\text{I}_{9x})\epsilon} = 306.6 \text{K}$			

TABLE 2
Computation of stress distribution in all steel ship (Condition I)

Sbd Item	Area ΔA (in ²)	y (in)	\bar{z} (in)	T (deg F)	αET $\times \Delta A$	$\alpha ET(\Delta A)$ $\times \bar{z}$	$\alpha ET(\Delta A)$ $\times \bar{y}$	$\sigma_1 + \sigma_2$ (psi)	13			
									σ_1	σ_3	σ_4	
1	0.375	10.21	1.00	1843	691	7055	691	+536	+1620	+288	+2444	
2	0.375	10.21	3.00	1742	653	6657	1959	+657	+1620	+863	+3120	
3	0.375	10.21	5.00	1316	494	5044	2470	+1063	+1620	+1438	+4121	
4	0.375	10.21	7.00	972	365	3727	2555	+1407	+1620	+2013	+5040	
5	0.375	9.31	7.71	6379	2392	22270	18442	-4000	+1477	+2217	-306	
6	0.375	7.31	7.91	37.3	7553	2832	20702	22401	-5174	+1160	+2275	-1739
7	1.475	6.21	4.62	38.1	7715	11380	70670	52576	-5356	+986	+1829	-3221
8	0.305	5.81	7.81	38.3	7756	2366	13746	18478	-5377	+722	+2246	-2209
9	0.190	4.81	7.72	38.5	7796	1481	7124	11433	-5417	+734	+3520	-2663
10	0.345	3.31	7.72	40.0	8000	2795	9251	21577	-5721	+525	+2220	-2976
11	0.180	2.94	7.72	41.3	8363	1505	4425	11619	-5984	+467	+2220	-3291
12	1.460	1.99	4.62	42.2	8546	12477	24829	57644	-6167	+316	+1329	-4522
13	0.425	1.54	7.71	42.5	8606	3658	5633	28203	-6227	+244	+2217	-3766
14	0.190	0.54	9.91	42.0	8505	1616	873	12783	-6126	+86	+2275	-3765
15	0.375	-0.86	7.91	22.0	4455	1671	-1437	13218	-2076	-136	+2275	+763
16	0.375	-2.86	7.91	2.1	425	159	-455	1258	+1954	-454	+2275	+3775
17	0.375	-4.86	7.91	1.2	243	91	-442	720	+2136	-771	+2275	+3640
18	0.375	-6.86	7.91	0	0	0	0	0	+2379	-1089	+2275	+3565
19	0.375	-8.86	7.91	0	0	0	0	0	+2379	-1406	+2275	+3248
20	0.375	-10.86	7.91	0	0	0	0	0	+2379	-1723	+2275	+2931
21	0.375	-12.86	7.71	0	0	0	0	0	+2379	-2041	+2217	+2555
22	1.500	-13.76	4.62	0	0	0	0	0	+2379	-2184	+1329	+1524

$$E_{\text{cr}} = 30 \times 10^6$$

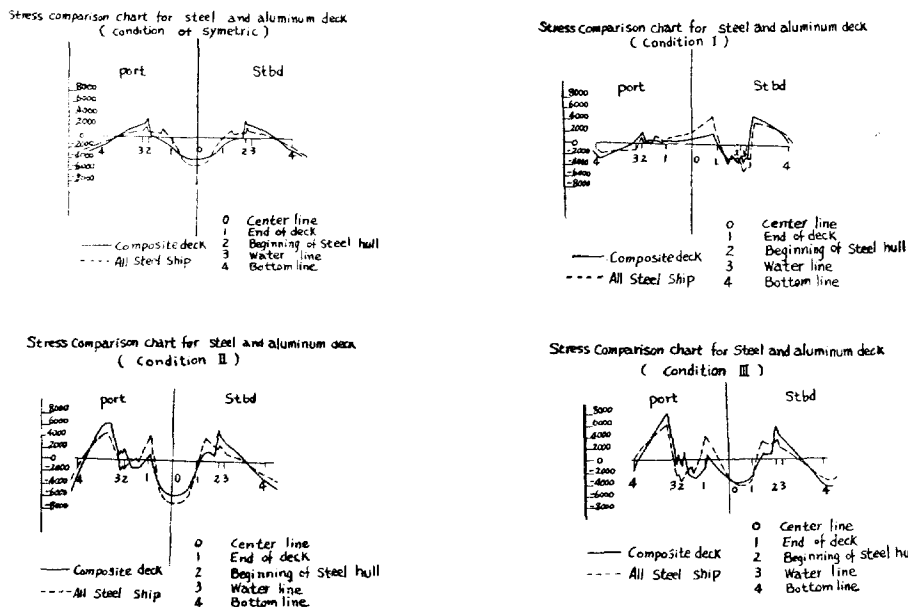
$$\sigma_i = \frac{1}{4} \Sigma_i = 2379$$

A=21.89

I_{0y}=866,7

$$\sigma_3 = -\frac{y}{f_m}, \quad \Sigma_3 = 158.7$$

N.A. is 13.86'' above B.I.



5. 討論

(1) 對稱溫度條件 때

- 溫度調節을 電氣的으로 하였는 고로 그 分布曲線은 매우 圓滑하며 따라서 應力分布 亦是 smooth 한 傾向을 가지나 aluminum 과 steel 의 接合部와 鋼船일때는 二層 甲板點에서 頂點(peak point)을 이루고 있다.
- 全般的인 關點에서 볼때 그 分布現象이 兩船 거리 같다.
- 鋼船인 境遇 甲板部分은 알미늄 船樓船보다 約 1000 psi 나 應力이 더 크나 外板은 이와 反對로 100 psi 程度 작다.

(2) 第一溫度條件 때

- 溫度分布豆 早期計測 (CS15 右舷 29° 太陽高度)을 採하였다.
- 두 曲線은 對稱條件時와는 判異하게 많은 頂點을 가지고 있다.
- 右舷의 甲板 모서리는 應力이 急작히 떨어져서 伸長力이 壓縮力으로 變化되며 水面部分에서는 急激히 反對應力으로 變位된다.
- 第一, 二 甲板部分에서 다 같이 頂點을 가진다.
- 左舷 쪽은 과히 심한 溫度變位가 없는고로 그 應力 亦是 特記할 만한 事項이 없으나 接合部와 第一 甲板部分에 頂點은 나타나고 있다.
- 接合部를 除外하고 남아지 部分은 鋼船으로 되었을 時 그 應力이 더 많은 것을 봄은 재미 있는 現象이다.

(3) 第二溫度條件 때

- 溫度分布를 午後 計測值 (1515 太陽高度 50°)로 採하였다.

- (b) 左右舷 모두 相當한 溫度變位를 받았으며 左舷은 좀더 심하다.
 - (c) 應力分布는 아주 不規則的으로 活潑히 變化되고 있다.
 - (d) 兩曲線이 모두 第一溫度條件 때와 똑 같은 頂點을 나타내고 있으며 그 高低는 더욱 심하다.
 - (e) 溫度變位에 따른 最高應力은 約 8000 psi에 이르고 있으며 이와 같은 事實은 S.S. Boulder Victory의 實驗에서 이미 밝힌 바이다.
- (4) 第三溫度條件 때
- (a) 溫度分布를 저녁 무렵 (1810 太陽高度 20°)의 計測值로 擇하였다.
 - (b) 左舷側의 side steel의 溫度는 맥우 높음으로서 水線部分은 急作히 壓縮應力으로 부터 約 8000 psi의 伸長壓力에 이르게 되니 結果的으로 보면 이 부분의 應力이 約 10,000 psi에 힘을 받는 폭이 된다.
 - (c) 이때 亦是 第一, 二溫度條件 때와 같은 頂點들을 가진다.

6. 結論

結果를 얻기 前에 期待했던 것과는 달리 兩船의 境遇 거의 同一 樣相을 보여 주고 있다.

그러나 接合部에서의 應力은 알미늄 船樓船이 鋼船 樓船보다 어떤 境遇를 莫論하고 約 1,000 p.s.i. 程度 많으며 其他部分에서는 오히려 鋼船보다 적다.

그리므로 上甲板의 輕 重量을 얻고자 알미늄 船樓船을 設計할 때에는 steel 과 aluminum의 接合部에서만 注意를 하면 熱應力에 對한 別다른 關心을 가지지 않아도 된다는 結論에 이른다. 끝으로 本稿에 不充分한 點이 許多함을 自認하며 特히 實驗值을 얻지 못하였음을 甚히 遺憾되게 生覺한다.

參 考 文 獻

- [1] Jasper, N.H., "Temperature-Induced Stresses in Beams and Ships" T.M.B. Report 937, June 1955.
- [2] Meriam, J.L., "Thermal Stresses in the S.S. BOULDER VICTORY" Inst. of Engineering Research, Series 101, Issue 3, University of California, Berkeley, Calif., Oct., 1957.
- [3] Meriam, J.L., et al "Thermal Stresses in the S.S. BOULDER VICTORY" J.S.R., vol 2, number 2, Oct. 1958.
- [4] Jasper, N.H., "Service Stresses and Motions of the ESSO ASHVILLE", T.M.B. Report 960 September 1955.
- [5] Corlett, E.C.B., "Thermal Expansion Effects in Composite Ships" Trans. Inst. of Naval Architects, v.92, p. 376, 1950.
- [6] Suyehiro, K. and Inokuti, T., "Some Hints Regarding Deflection of Ships due to Temperature Difference", Journal of the Society of Naval Architects (Japan) Vol. XIX, 1916.
- [7] Hurst, O., "Deflections of Girders and Ship Structures: A Note on Temperature Effects" Trans. Inst. of Naval Architects, v. 85, p. 74, 1943.
- [8] Howe, E.D., Boodberg, A., and O'Brien, M.P., "History of Residual Stresses in Welded

- Ships (NS-305), Part III-Temperature Studies of Liberty, Victory, and Refrigerated Cargo Ships", Feb, 25, 1946.
- [9] "Hogging and Sagging Tests, M.V. NEVERITA"-Admiralty Ship Welding Committee, 1946.
- [10] Timoshenko, S., and Goodier, J.N., "Theory of Elasticity", Second Edition, 1951, McGraw Hill, p. 401.
- [11] Melan, E., and Parkus, H., "Warmespannungen infolge stationarer temperaturfelder", Springer-Verlag (Vienna), 1953.
- [12] Hechtman, R.A., "Thermal Stresses in Ships", a report presented to the Ship Structure Committee (c/o U.S. Coast Guard), Oct 30, 1956.
- [13] Gatewood, B.E., "Thermal Stresses", McGraw Hill, 1957.
- [14] Parkus, H., "Instationare Warmespannungen", Springer-Verlag (Vienna), 1959.